### Елизаров Д.В., Елизаров В.И., Мерзляков С.А.

## ВЛИЯНИЕ ТЕХНОЛОГИЧЕСКИХ ПАРАМЕТРОВ НА КИНЕТИКУ МАССОПЕРЕНОСА В БАРБОТАЖНОМ СЛОЕ

Ключевые слова: массообмен, диффузионный слой, вязкий слой, коэффициент массоотдачи

Рассматривается модель массопереноса в пограничном слое. Коэффициент массоотдачи в жидкости при различных составах и расходах питания имеет минимум при определенных флегмовых числах, что свидетельствует о высоком сопротивлении массопереносу, следовательно, большой толщине пограничного слоя, что подтверждается результатами работы.

Keywords: mass transfer, diffusion layer, the viscous layer, mass transfer coefficient

A model of mass transfer in the boundary layer. Mass transfer coefficient in the liquid at different compositions and spending power has a minimum when the reflux ratio is defined, which indicates a high resistance to mass transfer, hence the large thickness of the boundary layer, which is confirmed by the results of the work.

#### Введение

Рассмотрим слой жидкости на плоскости контактного устройства. В перекрестном токе с жидкостью в турбулентном режиме движется поток второй фазы (пар, газ). Между фазами происходит обмен импульсом и массой. Турбулентный поток второй фазы в результате взаимодействия со слоем жидкости увлекает ее приграничные слои. На поверхности раздела фаз со стороны жидкости и газа формируются турбулентные пограничные слои. В турбулентном пограничном слое скорость жидкости падает от  $u_{ep}$  на границе раздела до нуля за пределами пограничного слоя, а в пограничном слое второй фазы, наоборот, возрастает от  $u_{ep}$  до значения  $\omega$  в ядре потока.

Газ, поступающий в слой жидкости при высокой скорости, на коротком участке слоя имеет структуру газожидкостной струи (факела), которая после передачи импульса распадается на пузыри, имеющие малую скорость движения, определяемую скоростью газа в колонне  $\omega_k$  и скоростью подъема пузыря.

В турбулентном пограничном слое на поверхности раздела фаз формируются вязкий и диффузионный подслои, имеющие толщину  $\delta_1$ ,  $\delta_D$  соответственно.

# Определение кинетических параметров массопереноса

Толщину диффузионного слоя  $\delta_{\mathcal{D}}$ , образующегося на границе раздела фаз, будем определять из соотношения:

$$\beta = D/\delta_D , \qquad (1)$$

где D — коэффициент молекулярной диффузии.

Толщина вязкого слоя  $\delta_1$  связана с толщиной диффузионного  $\delta_D$  соотношением:

$$\delta_1 = \delta_D \mathbf{S} \mathbf{c}^{1/2}, \tag{2}$$

где **Sc** – критерий Шмидта.

В процессе взаимодействия газа и жидкости на межфазной поверхности со стороны жидкой и газовой фазы образуются пограничные слои жидкости и газа. В турбулентном пограничном слое турбулентные пульсации по мере приближения к межфазной поверхности постепенно затухают [8]. Коэффициент турбулентной диффузии  $D_{Ti}$  (i=e) газовая фаза, i=m0 жидкая фаза) в вязком подслое пограничного слоя связан с пульсационной скоростью соотношением:

$$D_{Ti} = v'_{0i}\ell_i$$
,

которое для пограничного слоя на поверхности раздела фаз имеет вид [9]:

$$D_{Ti} = v'_{0i} \delta_{1i} (\eta/\delta_{1i})^2,$$

где  $\nu'_{0i}$  — пульсационная скорость на границе раздела фаз,  $\ell_i$  — масштаб турбулентных пульсаций,  $\delta_{1i}$  — толщина вязкого подслоя,  $\eta$  — поперечная координата пограничного слоя.

Выражая, пульсационную скорость  $v'_{0i}$  на границе вязкого подслоя через динамическую скорость  $u_{*i}$  и, считая одинаковыми потоки импульса внутри вязкого подслоя и на его границе, коэффициент турбулентной диффузии получим в виде

$$D_{Ti} = u_{*i} \delta_{1i} (\eta / \delta_{1i})^2. \tag{3}$$

Значения коэффициентов массоотдачи  $\beta_i$  определяются сопротивлением в вязком подслое [1]:

$$1/\beta_i = \int_0^{\delta_{ij}} d\eta / (D_i + D_{Ti}), \qquad (4)$$

где  $D_i$  и  $D_{Ti}$  — коэффициенты молекулярной и турбулентной диффузии в вязком подслое пограничного слоя.

Подставляя значение коэффициента  $D_{Ti}$  из выражения (3)в (4), получим:

$$\frac{1}{\beta_{i}} = \delta_{1i} \int_{0}^{1} \frac{d(\eta/\delta_{1i})}{D_{i} + u_{*i}\delta_{1i}(\eta/\delta_{1i})^{2}} = \frac{1}{u_{*i}} \int_{0}^{1} \frac{d(\eta/\delta_{1i})}{D_{i}/u_{*i}\delta_{1i} + (\eta/\delta_{1i})^{2}} = \frac{1}{u_{*i}} \int_{0}^{1} \frac{d\Psi}{\sqrt{a}^{2} + \Psi^{2}} = \frac{1}{u_{*i}} \frac{1}{\sqrt{a}} \operatorname{arctg} \left( \Psi \sqrt{\frac{1}{a}} \right) \Big|_{0}^{1}$$
где  $\Psi = \eta/\delta_{1i}$ ,  $\mathbf{a} = \frac{D_{i}}{u_{*i}\delta_{1i}} = \frac{1}{R_{1i}Sc_{i}}$ . (6)

Выражение (5) с учетом равенств (6) принимает вид:

$$\frac{1}{\beta_i} = \frac{\operatorname{arctg} \sqrt{R_{1i} S c_i} (R_{1i} S c_i)^{0.5}}{u_{*i}}.$$

Отсюда найдём местный коэффициент массоотдачи:

$$\beta_i = \frac{u_{*i}}{\operatorname{arctg} \sqrt{R_{1i} \operatorname{Sc}_i} (R_{1i} \operatorname{Sc}_i)^{0.5}}.$$
 (7)

где  $R_{1i} = u_{*i}\delta_{1i}/v_i$  — критерий Рейнольдса вязкого подслоя ( $i = \varepsilon$  — газовая фаза,  $i = \varkappa$  — жидкая фаза),  $Sc_i$  — критерий Шмидта.

Для определения параметра  $R_1 = u_* \delta_1 / \nu$  рассмотрим двухслойную модель турбулентного пограничного слоя на границе раздела фаз.

Законы трения для турбулентного пограничного слоя консервативны к внешним возмущениям и изменению граничных условий [2]. Поэтому возможно их распространение на более сложные граничные условия на поверхности раздела фаз.

В плоском пограничном слое без давления и пограничном слое с давлением столба жидкости структура описания закона трения не изменяется. Изменение давления оказывает влияние на параметры описания закона трения.

Используем этот прием при определении числа Рейнольдса для пограничного слоя с давлением столба жидкости. Сначала определим закон трения на твердой стенке, обтекаемой потоком газа и жидкости со скоростью  $U_{\infty}$ , а затем на границе газ-жидкость. Используя известное распределение коэффициента трения на твердой стенке  $C_f$ , найдем коэффициент трения и число Рейнольдса  $R_1$  для пограничного слоя на границе раздела в системе газ-жидкость.

Запишем поток импульса в вязком подслое пограничного слоя:

$$\tau = v - \frac{u}{\eta} = v \frac{u_1}{\delta_1} \,,$$

где  $u_1$  – скорость фазы на границе вязкого подслоя;  $\delta_1$  – толщина подслоя.

Выразим касательное напряжение  $\tau$  через коэффициент сопротивления:

$$\frac{C_f}{2} = \frac{\tau}{\rho u_{\infty}^2} \,. \tag{8}$$

Из уравнения (8) получим

$$C_f = v \frac{u_1}{\delta_1} \frac{2}{\rho u_{\infty}^2}.$$
 (9)

Учитывая консервативность законов трения к внешним возмущениям, запишем выражение для пограничного слоя на твердой стенке  $\overline{C}_f$  и на межфазной поверхности газ-жидкость  $C_f$ :

$$\overline{C}_f = v \frac{\overline{u}_1}{\overline{\delta}_1} \frac{2}{\rho u_{\infty}^2}, \ C_f = v \frac{u_1}{\delta_1} \frac{2}{\rho u_{\infty}^2}. \tag{10}$$

Скорости  $u_1$  и  $u_1$  на границах вязкого подслоя в пограничном слое на твердой стенке и границе газ-жидкость отличаются друг от друга при одинаковой скорости внешнего потока  $u_{\infty}$  на разность пульсационных скоростей  $u_1$  и  $u_1$ :

$$\overline{u}_1 \approx u_{\infty} - \overline{u'}, \ u_1 \approx u_{\infty} - u'.$$

Примем пульсационные скорости в турбулентной области  $\overline{u'} \approx u$  , тогда  $\overline{u_1} \approx u_1$ .

Из выражений (10) найдем отношение коэффициентов сопротивлений:

$$\frac{\overline{C}_f}{C_f} = \frac{\delta_1}{\overline{\delta}_1},\tag{11}$$

где  $\delta_1$ ,  $\delta_1$  — толщины вязкого подслоя в пограничном слое на твердой стенке и границе раздела в системе газ-жидкость.

Из определения параметра  $R_1 = u_* \delta_1 / v$ , записанного для пограничного слоя на твердой стенке  $\overline{R}_1 = \overline{u_*} \overline{\delta}_1 / v$  и на межфазной поверхности газ-жидкость  $R_1 = u_* \delta_1 / v$ , с учетом (11) получим

$$\frac{\overline{R}_1}{R_1} = \frac{\overline{u}_* \overline{\delta}_1}{u_* \delta_1} = \frac{\overline{u}_*}{u_*} \frac{\overline{C}_f}{C_f}, \qquad (12)$$

 $u_*$ ,  $u_*$  – динамическая скорость в пограничном слое на твердой стенке и на межфазной поверхности газ-жидкость соответственно.

Значение числа  $\overline{R}_1$  для пограничного слоя на твердой стенке без градиента давления при турбулентном режиме, как известно, равно  $\overline{R}_1 = 11.6$ , а коэффициент сопротивления  $\overline{C}_f$  имеет вид

$$\frac{\overline{C}_f}{2} = \frac{0.058}{\text{Re}_z^{0.2}}, \ \text{Re}_z = \frac{u_{\infty}z}{v} \ .$$
 (13)

Динамическую скорость u\* на твердой стенке выразим через коэффициент сопротивления:

$$\frac{\overline{C}_f}{2} = \frac{\overline{u}^2}{u_{\infty}^2}, \quad u = u_{\infty} \sqrt{\overline{C}_f/2} \quad . \tag{14}$$

Коэффициент сопротивления в пограничном слое на межфазной поверхности газжидкость равен

$$\overline{C}_f = 2u_*^2 / u_\infty^2. \tag{15}$$

Из уравнений (12), (14), (15) получим выражение для определения числа  $R_{1i}$  в пограничном слое на границе газ-жидкость:

$$R_{1j} = 11.6 \frac{u_{\odot j}}{u_{*i}} \sqrt{\frac{\overline{C}_f}{2}}$$
, (16)

где i = ж — жидкая фаза, i = a — газовая (паровая) фаза.

Скорость  $u_{\infty}$  на внешней границе пограничного слоя газа  $y \to \infty$  примем равной скорости на оси струи  $u_{\infty} = \overline{W}_0$ , а на внешней границе пограничного слоя жидкости — скорости на границе раздела фаз  $u_{\infty} = u_{ap}$ .

Среднее значение параметра  $\overline{R}_{1e}$  в газовой фазе согласно (16) вычисляется по формуле [3]

$$\overline{R}_{1e} = 11,6 \frac{\overline{W}_0}{\overline{U}_{*e}} \sqrt{\frac{\overline{C}_{fe}}{2}}, \qquad (17)$$

где  $\overline{C}_{fe}=0,058\,{\rm Re}_z^{~0,2}$ ,  ${\rm Re}_z=\overline{W}_0h_z/\nu_\Gamma$ . Число  ${\rm Re}_z$  определим при  $h_z=0.5h_\phi$ , где  $h_\phi$  — высота газового факела.

Неизвестной величиной в формуле для определения  $R_{1*}$  является средняя скорость на границе раздела фаз  $u_{\infty *} = u_{\mathsf{ap}}$  .

Среднюю скорость на границе раздела фаз  $u_{ep}$  выражаем через динамическую скорость  $u_{**}$ . Для определения  $u_{ep}$  используем обобщение аналогии Рейнольдса об единстве процессов переноса массы и импульса в турбулентных потоках. Применим аналогию Рейнольдса для описания процессов переноса в турбулентном пограничном слое жидкости на границе раздела фаз.

Запишем потоки импульса и массы в турбулентной области пограничного слоя, в которой механизм переноса импульса и массы определяется пульсациями жидкости:

$$j = G(x_1 - x_0), \tag{18}$$

$$\tau = \mathbf{G}_{\mathbf{w}}(\mathbf{u}_1 - \mathbf{u}_{\infty}) = \mathbf{G}_{\mathbf{w}}\mathbf{u}_1\rho , \qquad (19)$$

где  $G_{\mathcal{H}}$  — количество жидкости, переносимое турбулентным механизмом; j и  $\tau$  — потоки массы и импульса;  $x_1$  и  $u_1$  — концентрация и скорость жидкости на границе вязкого подслоя;  $x_0$  и  $u_{\infty}$  — соответственно в ядре потока.

Поделим уравнение (18) на уравнение (19). Получим соотношение аналогии Рейнольдса:

$$j = \tau / \rho u_1 (x_1 - x_0). \tag{20}$$

Поток импульса в вязком подслое пограничного слоя жидкости постоянен

$$\tau = \nu_{\mathcal{K}} \frac{u_1}{\delta_4},\tag{21}$$

где  $\delta_1$  выражается через число  $R_1$ :

$$\delta_1 = R_1 v_{\varkappa} / u_{*_{\varkappa}}.$$

Запишем поток массы в диффузионном подслое:

$$j = D \frac{x_{ep} - x_1}{\delta_D} \,. \tag{22}$$

Движущие силы переноса массы в вязком подслое и турбулентной области в уравнениях (20), (22) запишутся в виде

$$x_{ep} - x_1 = j \, \delta_D / D = j R_1 \, \text{Sc}^{-1/2} / u_*$$

$$x_1 - x_0 = j \rho u_1 / \tau$$
.

Сложим эти уравнения, найдем движущую силу переноса массы в турбулентном пограничном слое:

$$x_{ep} - x_1 = j \frac{\rho u_1}{\tau} = j \frac{\rho u_1}{\tau} \left( 1 + \frac{R_1 \tau}{u_1 u_*} \operatorname{Sc}^{1/2} \right),$$

отсюда найдем поток массы:

$$j = \beta_{\mathcal{K}} \left( x_{ep} - x_0 \right) = \frac{\tau}{\rho u_1} \frac{x_{ep} - x_0}{\left( 1 + R_1 \tau S c^{1/2} / u_1 u_* \right)}, \tag{23}$$

где  $\,eta_{\!\scriptscriptstyle \mathcal{M}}\,$  – коэффициент массоотдачи в жидкой фазе.

Выражая поток импульса через динамическую скорость

$$\tau = \rho_{\mathbf{x}} \mathbf{u}_{*\mathbf{x}}^2$$

и принимая во внимание значение т из уравнения (18), уравнение (22) перепишем в виде

$$\beta_{\mathcal{H}} = \frac{u_*^2}{u_1} \frac{1}{1 + Sc_{\mathcal{H}}^{1/2}} \,. \tag{24}$$

Средняя скорость жидкости на границе вязкого подслоя  $\overset{-}{u_1}$  согласно линейному профилю имеет значение

Среднее значение коэффициента массоотдачи  $\beta_{\varkappa}$  в (23) найдем из (7). Разлагая тригонометрическую функцию в (7) в ряд и пренебрегая членами высшего порядка малости, получим

$$arctg\sqrt{R_{1_{\mathcal{H}}}Sc_{_{\mathcal{H}}}} \approx \pi/2$$
.

Подставим значения выражений (24), (7) в уравнение (23), получим

$$\frac{\overline{2u_{***}}}{\pi\sqrt{R_{1**}Sc_{**}}} = \frac{\overline{u_{***}}}{\overline{u_{*p}} - \overline{u_{**}}R_{1**}} \left(1 + \sqrt{Sc_{**}}\right). \tag{26}$$

Принимая во внимание значение числа  $Sc_{\varkappa}$  для жидкости  $\left(Sc_{\varkappa}\approx 10^{3}\right)$ , запишем приближенное равенство:

$$1 + \sqrt{Sc_{\varkappa}} \cong \sqrt{Sc_{\varkappa}}$$
.

Из уравнения (26) найдем среднюю скорость на границе раздела фаз:

$$\overline{u}_{ep} = 2\overline{u}_{**}\sqrt{R_{1*}}\left(\pi/2 + \sqrt{R_{1*}}\right). \tag{27}$$

Подставляя значение  $\stackrel{\smile}{u}_{\it ep}$  в выражение для определения  $\stackrel{\smile}{R}_{\it 1ж}$  , получим

$$\overline{R}_{1x} = 11.6 \frac{\overline{u}_{ap}}{\overline{u}_{*x}} \sqrt{\frac{\overline{C}_{fx}}{2}}, \qquad (28)$$

где 
$$\overline{C}_{\mathit{f}_{\mathcal{K}}} = 0,058\,\mathrm{Re}_{_{\mathcal{K}}}^{-0,2}\,,\;\mathrm{Re}_{_{\mathcal{K}}} = \overline{u}_{\mathit{ep}}h_{_{\mathcal{O}}}/2\nu_{_{\mathcal{K}}}\,.$$

Динамическую скорость трения  $u_{*i}$  на границе раздела газ-жидкость найдем из уравнений движения газа в струе-факеле. Интеграл уравнений движения вязкого газа в поле сил гидростатического давления столба жидкости запишем в форме обобщенного уравнения Бернулли для вязкой среды [4]:

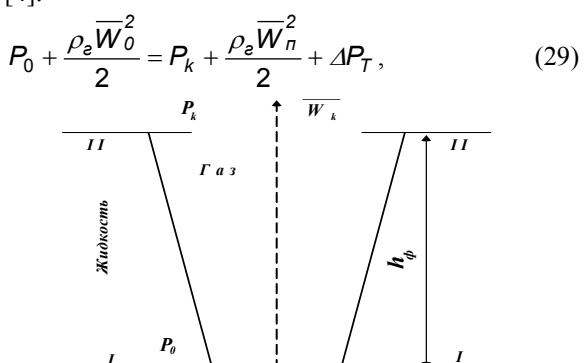


Рис. 1 – Структура газожидкостной струи

где  $P_0$ ,  $P_k$ ,  $\overline{W}_0$ ,  $\overline{W}_n$  — давление и средняя скорость газа в сечениях входа в барботажный слой I-I и распада струи на пузыри II-II рис. 1;  $\Delta P_T$  — потеря импульса газа на участке  $h_{\phi}$ , расходуемая на преодоление сил вязкого трения в объеме газа и на границе раздела фаз. Потеря энергии на преодоление сил внутреннего трения мала по сравнению с сопротивлением на границе раздела фаз. Пренебрегая действием сил внутреннего трения, удельную потерю импульса в струе запишем в виле

$$\Delta P_T = u_{*e}^2 \rho_e = u_{*\kappa}^2 \rho_{\kappa}, \qquad (30)$$

где  $\rho_{\rm z}$ ,  $\rho_{\rm w}$  — плотность газа и жидкости;  $u_{*}$  — динамическая скорость трения на границе газжилкость.

Перепад давления газа на высоте факела определяется в виде

$$\Delta P = P_0 - P_k = \rho_{\varkappa} g h_{cb} .$$

Подставляя значения  $\Delta P_T$  и перепада давления  $\Delta P$  в уравнение (29), получим

$$u_{*e}^2 \rho_e = u_{*x}^2 \rho_x = \frac{\rho_e \overline{W}_0^2}{2} - \frac{\rho_e \overline{W}_\pi^2}{2} + \rho_x g h_{\phi}$$

Среднее значение динамической скорости в пограничном слое газа и жидкости вычислим в середине высоты факела [6]:

$$\overline{u}_{*i} = \left(\frac{\rho_{e}\left(\overline{W}_{0}^{2} - \overline{W}_{\kappa}^{2}\right)}{4\rho_{i}} + \frac{\rho_{\kappa}gh_{\phi}}{2\rho_{i}}\right)^{1/2},$$
(31)

где  $i=\mathcal{K}$  — жидкая фаза,  $i=\mathcal{E}$  — газовая фаза. Средняя скорость газа в сечениях газовых струй при распаде их на пузыри составляет  $\overline{W}_{\pi} \approx \overline{W}_{\kappa}/\varphi$ , где  $\varphi$  — газосодержание в данном сечении;  $\overline{W}_{\kappa}$  — средняя скорость газа в колонне.

Высоту газового факела определим по уравнению [5]

$$h_{\phi} = 2.45 d_{9} \left[ \frac{\rho_{e} \overline{W}_{0}^{2}}{g d_{9} (\rho_{\kappa} - \rho_{e})} \right]^{0.35}, \tag{32}$$

где  $d_{\mathfrak{g}}$  – эквивалентный диаметр отверстия.

Определим толщину вязкого  $\delta_1$ диффузионного  $\delta_D$ , образующихся со стороны газа и жидкости, при разделении многокомпонентной смеси (компоненты питания пропан, изобутан, бутан, изопентан, пентан, гексан) на 71 клапанной двухпоточной тарелке при различных составах и расходах питания в колонне диаметром 3,8м. Давление верха, кПа - 587.7; давление кубового остатка, к $\Pi a - 638.3$ ; температура верха,  ${}^{0}C - 58$ ; температура куба,  ${}^{0}\text{C} - 106$ ; температура питания,  ${}^{0}\text{C}$ - 82. Принимаем исходную смесь как сумму двух ключевых компонентов: бутановая ключевой компонент - бутан; пентановая фракция, ключевой компонент - изопентан. Содержание НК компонента (пропана, изобутана и бутана) в мол.д. составляет:  $x_0 = 7.5 \cdot 10^{-5}$ ,  $x_{N+1} = 0.9984$ . Расчет будем производить для верхней секции колонны по средним значениям концентрации, температуры и давления.

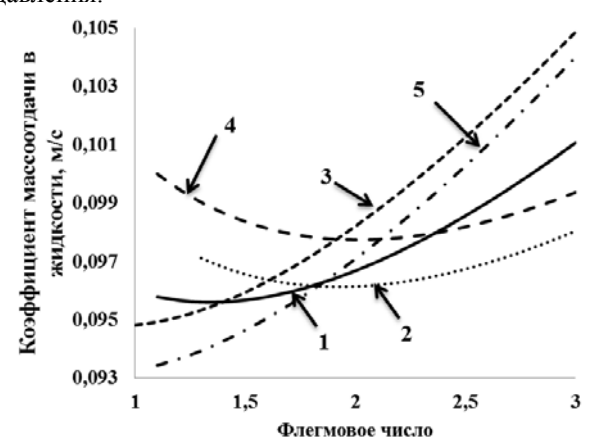


Рис. 2 — График зависимости коэффициента массоотдачи в жидкости в зависимости от флегмового числа при различных составах и расходах питания.

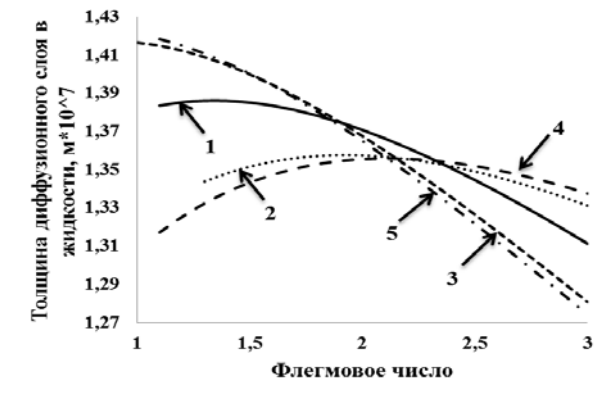


Рис. 3 — График зависимости толщины диффузионного слоя в жидкости в зависимости от флегмового числа при различных составах и расходах питания.

На рис. 2-4 представлены графики зависимости коэффициента массоотдачи (7) в жидкости, толщины диффузионного (1) и вязкого (2) слоев в зависимости от флегмового числа при различных составах  $x_f$  и расходах питания F (кривая  $1-x_f=0.7027$  масс.д., F=60 т/ч;  $2-x_f=0.6$  масс.д., F=60 т/ч;  $4-x_f=0.8$  масс.д., F=60 т/ч;  $4-x_f=0.7027$  масс.д., F=60 т/ч;  $5-x_f=0.7027$  масс.д., F=60 т/ч;  $5-x_f=0.7027$  масс.д., F=60 т/ч;  $5-x_f=0.7027$  масс.д.,  $5-x_f=0.7027$  масс.д.

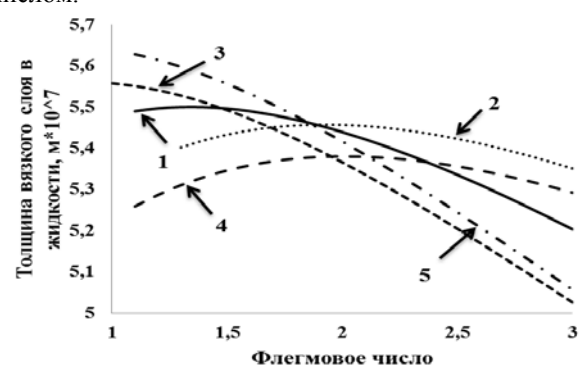


Рис. 4 — График зависимости толщины вязкого слоя в жидкости в зависимости от флегмового числа при различных составах и расходах питания.

Коэффициент массоотдачи в жидкости имеет минимум, что свидетельствует о высоком сопротивлении массоотдачи при соответствующих флегмовых числах, при этом толщина диффузионного и вязкого слоев максимальна, что подтверждается рис. 3 и рис. 4.

Результаты работы получены в рамках федеральной целевой программы «Научные и научно-педагогические кадры инновационной России» на 2009-2013 годы (соглашение New14.B37.21.0591).

#### Литература

- 1. В. И. Елизаров, Д. В. Елизаров, С. А. Мерзляков, С. Г Дьяконов, *Теор. основы. хим. технол.* 46, 5, 483-490 (2012).
- 2. С.С. Кутателадзе, *Тепломассообмен и трение в турбулентном пограничном слое.* Энергия, Москва 1972. 344 с.
- 3. С.А. Мерзляков, В.В. Елизаров, Д.В. Елизаров. *Вестник Казан. технол. ун-та*, 15, 8, 263-268 (2012).
- 4. С. Г Дьяконов, В. В. Елизаров, В. И. Елизаров, Теоретические основы проектирования промышленных аппаратов химической технологии на базе сопряженного физического и математического моделирования. КГТУ, Казань 2009, 456 с.
- А.А. Волошко, А.В. Вургафт, В.Н. Фролов. Тепло- и массобм. в хим. технол. межвух сб. науч. тр. 27-28 (1981).
- 6. С.Г. Дьяконов, В.В. Елизаров, Д.В. Елизаров, С.А. Мерзляков. *Вестник Казан. технол. ун-та*, 3, 1,57-63 (2009).

<sup>©</sup> **В.И. Елизаров** д-р техн. наук, профессор, зав. каф. АТПП НХТИ ФГБОУ ВПО «КНИТУ»; **С. А. Мерзляков** – ст. преп. той же кафедры, sergew@inbox.ru; Д. В. Елизаров – канд. техн. наук, доцент той же кафедры.